

貯水池の堆砂過程について

九大工学部 正夏 椎 東一郎
九大工学部 学生員 ○宮武 順造

第一報において貯水池の堆砂過程について堆砂過程中流量が一定及び流送工砂量を一定の場合を取扱い、三の結果より正解を得た。しかしながら実際の貯水池では堆砂過程中に於て流量及ぶ流送工砂量は瞬間に変化してありその取扱いについて不明確な点があるようと思われる。そこで著者は二つして更に注目して基礎的なものとして貯水池の埋没過程中に流送工砂量が変化する場合における砂堆の運動機構に関する理論的考察を行ない実験により明らかにし、この結果に基づいて堆砂過程中に於て実用的な算定法の提案を試みたものである。

1 実験装置及び方法

堆砂過程中の船砂量が変化する場合の砂堆の運動に注目して、ここでは船砂量左岸の船砂量の2~8倍に変化させて実験を行なった。

実験番号	初期 d. cm	流量 q (m³/s)	船砂量 q_m (m³)	堆高 cm	実験要因	
					堆砂率	初期水深
NO 1	0.025	2.632	372.68	0.071 → 0.276	5.5	1/150
2	0.033	2.684	372.68	0.255 → 0.284	5.5	•
3	0.035	2.632	372.68	0.201 → 0.503	6.5	•
4	0.063	2.680	372.68	0.258 → 0.524	6.5	•

実験に用いた水路は長さ16m幅60cmの鋼製水路で片面ガラス張りである。船砂装置は水路上流端に四角のSand Boxを有し、その下部に所要の量の砂を撒け、そこから自然落下させ分散器により水路幅全体に分散し水路内に一定量の砂を船砂させた。実験は表-1の条件で行なった。水位及び河床の測定は水路断面3ヶ所で行なり縦方向の測定は25cm間隔で約10ヶ所間に形状を測定した。水面形は静止管、堆砂面はボンティゲージによりそれぞれ測定を行なった。

2 貯水池における堆砂の運動に関する考察

[1] 基礎方程式

流砂量式として河床近傍の渦流砂を含む掻流型流砂量の有効掻流力式が導入され、これを河床式を用いると単位幅当たりの流砂量 q_0 は

$$\Phi = \frac{q_0}{T_{ef} d^2} = K \cdot \frac{q_e}{d^2} \left(1 - \frac{q_e}{q_0} \right)^m \quad (1)$$

$$q_e = \frac{q}{h} \cdot \frac{q_e}{h} = \frac{h \cdot T_{ef}}{s \cdot d} \frac{q_e}{h}, \text{ 但: } q = q_{0e}, q_e = 6.0 + 0.75 \ln \frac{h}{d}$$

工字形一勾配 T_{ef} は (図-1) を参照して

$$T_{ef} = T_0 - \frac{dh}{dx} - \frac{dh}{dx} \left(\frac{h^2}{d^2} \right) \quad (2)$$

上式で dh/dx , dh/dx の値を無視すると直線的に

$$T_{ef} = T_0 - \frac{dh}{dx} \quad (3)$$

従って単位幅当たりの流量 q は

$$q = h \cdot q_e \cdot \sqrt{g \cdot h \cdot T_{ef}} \quad (4)$$

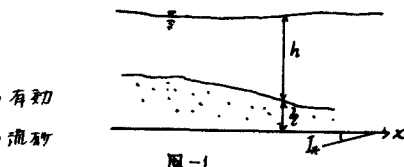


図-1

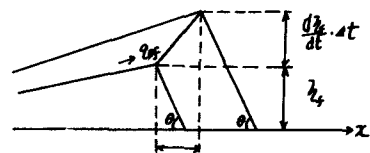


図-2 独立三角形.

ここで (1) 及び (4) 式により単位幅当たりの流砂量 q_0 は $K=25$, $m=2.3$, 且ち若冲縁に比して小となると

$$q_0 = 25 \sqrt{5 g d^3} \left[\frac{q^{\frac{1}{2}} (q \cdot q_e \cdot T_{ef})^{2.3}}{s^2 q^2 d^4 q_e} \right]^{2.3} \quad (5)$$

[2] 砂堆の運動に関する基礎式

斜丘肩を流れる流砂量 q_{bf} は (5) 式より

$$q_{bf} = 25 \sqrt{5 g d^3} \left[\frac{q^{\frac{1}{2}} (q \cdot q_e \cdot T_{ef})^{2.3}}{s^2 q^2 d^4 q_e} \right]^{2.3} \quad (6)$$

ここで T_{ef} は斜丘肩上に於ける工字形一勾配。

(6)

水に(図-2)の如く芦田式によると砂堆の運動より前进速度 U 及び運動方向の角度 θ は、砂の空隙率を入として、

$$U = \frac{q_{sf}}{(1-\lambda) q_f} \quad (4)$$

$$\theta = \frac{1}{U} \left(\frac{\partial z}{\partial t} \right) + \left(\frac{\partial z}{\partial x} \right) \quad (5)$$

但し添字 f は砂堆頂上り値である。

$z = z^*(\frac{\partial z}{\partial x})$ にフリード砂堆背面に於ける平均値を用ひると

$$\left(\frac{\partial z}{\partial x} \right)_f = \left(\frac{\partial z}{\partial x} \right)_m = \frac{(q_{sf} - q_{sf})}{(1-\lambda) L}$$

$$(4) \text{ 及び } (5) \text{ 代入して } (5) \text{ を考慮して, } \theta = \frac{q_{sf}}{q_{sf}} \cdot (1 - \frac{q_{sf}}{q_{sf}}) \frac{L}{L} + \left(\frac{\partial z}{\partial x} \right)_f$$

[2-3] 砂堆頂が上端側に反る場合、(図-3)

いま任意の時刻 t に於ける堆砂の形状を(図-3)の如く次式で表すと、

$$z = ax^2 + bx + c \quad (6)$$

従つて $x=0$ 时 $z=z_f$, $x=-L$, $t=0$ βa^2 後方距離 $x=-L$ では

堆砂量 q_{sf} 全部が溢れでるから $(\frac{\partial z}{\partial x})_{x=-L} = 2a(-L) + b = i_0 = (I_x - I_{sf})$ の

条件より、 $a = (\frac{i_0}{L} - i_0) \frac{1}{L}$

$$b = \frac{2i_0}{L} - i_0, \quad \beta a^2, \quad c = i_0 \quad \left. \right\} \quad (7)$$

従つて段丘肩上のエネルギー勾配 I_{sf} に $> 11^{\circ}$ で $i_f = (\frac{\partial z}{\partial x})_{x=0} = b$

$$I_{sf} = I_x - \left(\frac{2i_0}{L} - i_0 \right) \quad (8)$$

I_{sf} は(5)式から次式で表わされる。

$$I_{sf} = \left(\frac{q_{sf}}{(\sqrt{g} q_{sf}^2 + 2S)} \right)^{\frac{1}{2}} \cdot \left[\frac{(5gq_{sf})^{\frac{1}{2}}}{g^{\frac{1}{2}} (q_{sf})^{\frac{1}{2}}} \right] \quad (9)$$

段丘後端が後方に伸びる速度 $\frac{dz}{dt}$ について、(図-4)のようになる。

に伸びる距離を Δx とするとき、同時に堆積した總量が成因の堆砂量に等しいことを次式が成立する。

$$\frac{q_{sf}}{(1-\lambda)} \cdot \Delta t = \int_{(L+\Delta L+4Z)}^0 a x'^2 + b x' + c dx' + \frac{(i_0 + \frac{dz}{dt} \cdot \Delta t)^2 \cot \theta}{2} - \int_L^0 a x^2 + b x + c dx \sim \frac{4i_0^2 \cot \theta}{2} \quad (10)$$

但し θ は砂の中の偏角である。

$z = z^*(a, b, c, t)$ 時間後の形状係数、 a, b, c は初期形状に於ける係数 i_0 に対する次式で表わされる。

$$\begin{aligned} a_0 &= \left(\frac{i_0}{L} - i_0 \right) \frac{1}{L} & a &= \frac{(i_0 + \frac{dz}{dt} \cdot \Delta t) - i_0 (L + \Delta L + 4Z)}{(L + \Delta L + 4Z)^2} \\ b_0 &= \left(\frac{2i_0}{L} - i_0 \right) & b &= \frac{2(i_0 + \frac{dz}{dt} \cdot \Delta t)}{(L + \Delta L + 4Z)} - i_0 \\ c_0 &= i_0 & c &= (i_0 + \frac{dz}{dt} \cdot \Delta t) \end{aligned} \quad \left. \right\} \quad (11)$$

又段丘肩の運動より $\frac{q_{sf}}{(1-\lambda)} \cdot \Delta t = \left(i_0 + \frac{1}{2} \frac{di_0}{dt} \cdot \Delta t \right) (dx + \frac{dz}{dt} \cdot \Delta t \cdot \cot \theta) \quad (12)$

(15)式を積分し、(10)式を代入して(12)式を考慮すると段丘後端の伸びる速度 $\frac{dz}{dt}$ は次式で得られる。

$$\frac{dL}{dt} = \frac{dL}{dt} = \frac{1}{2(i_0 + L \cdot i_0)} \left[\frac{6q_{sf}}{(1-\lambda)} - 2(i_0 + L \cdot i_0) \frac{q_{sf}}{i_0} - \left\{ L + (4i_0 - L \cdot i_0) \cot \theta \right\} \frac{di_0}{dt} \right] \quad (13)$$

$\frac{di_0}{dt} \propto \frac{q_{sf}}{(1-\lambda)}$ に比して小なりとする。

$$\frac{dL}{dt} = \left[\frac{3i_0}{(i_0 + L \cdot i_0)} \cdot \frac{q_{sf}}{i_0} - 1 \right] \cdot U \quad (14)$$

従つて(14)式により此後の段丘後端の伸びる長さ L を求めることが出来てが(13)式の微分方程式の型だと直視される項が多いので実用的には此時間後の段丘の長さ L について、同時に堆積した總量が成因の堆砂量に等しいから(図-4)を参照して初期形状に於ける(单位幅当たりの)堆積量 V_0 とすると次式が成立する。

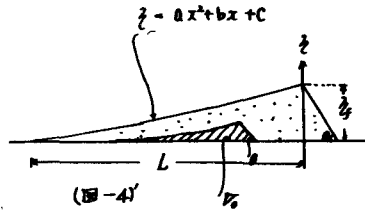
$$\frac{q_{sf}}{(1-\lambda)} \cdot \Delta t = \int_L^0 (ax^2 + bx + c) dx - V_0 + \frac{q_{sf}^2 \cot \theta}{2} \quad (15)$$

④式の条件により此後の段丘の長さLは

$$L = \frac{-i_0 + \sqrt{i_0^2 + 6i_0 M}}{i_0} \quad (21)$$

$$\text{ただし } M = \left(\frac{q_{so}}{(1-\alpha)} \cdot At + V_0 - \frac{M^2 + i_0^2}{2} \right)$$

$$i_0 = (I_0 - I_{eo})$$



従って(21)式により此後の段丘肩の厚さzが知れると此時間後の段丘の長さLが解ける。又このLにより此後の形状が(4)式から得られることに至る。

[2-2] 段丘背面が途中で切れざる場合(アル内に船砂)を場合等と上下流の河床が不連続の場合)

(图-5)を参照して、この場合の段丘の長さLは次後に(2)式初期形状の段丘長Lにaxが加わったものであるから

$$L = L_0 + ax \quad (22)$$

段丘が上流に及ぶ場合と同様に形状を(2)式で仮定する即ち(1)

を考えると、いま段丘後端x=0で初期堆積厚をと、右側に高さ石量a₀とする、x=0でz=z₀+a₀、x=Lでz=z₀、又段丘後端x=0で船砂量が全部流れぞり石から($\frac{dz}{dx}|_{x=0} = b = i_0$)である。

従って上の条件により此後の段丘の形状に(2)式が成立す。

$$aL^2 + i_0 L + (z_0 + a_0) - i_0 = c \quad (23)$$

△時間の間に船砂した量不連続の全体のVolumeから初期形状のVolumeを除いたものに算じてから初期形状のVolumeをV₀とする(图-5)を参照して

$$\frac{q_{so}}{(1-\alpha)} \cdot At = \int_0^L ax^2 + bx + c \, dx - V_0 + \frac{M^2 + i_0^2}{2} \quad (24)$$

(24)式より△時間後の段丘の形状に(2)式における高さ石量a₀と係数a, b, cは、

$$\begin{aligned} i_0 &= \frac{3}{2}M - \frac{1}{4}[i_0 L + (4z_0 + 2a_0)] \\ a &= \frac{3}{2}\frac{z_0}{L^2} - \left(\frac{1}{4}\frac{i_0}{L} + \frac{3}{2}\left(\frac{M}{L}\right) \right) \\ b &= i_0, \quad c = z_0 + a_0 \end{aligned} \quad \left\{ \right. \quad (25)$$

$$\text{但し } i_0 = I_0 - I_{eo}, \quad L = L_0 + ax, \quad M = \left(\frac{q_{so}}{(1-\alpha)} \cdot At + V_0 - \frac{M^2 + i_0^2}{2} \right)$$

④式より段丘肩上に於けるエキセルギー勾配、I_{ef} は $I_{ef} = i_0 + (\frac{dI}{dx})_{x=L} = 2 \cdot a \cdot L + i_0$ なり

$$I_{ef} = I_0 - i_0 = 2I_0 - \left[\frac{3z_0}{L^2} - 2i_0 - \frac{3M}{L^2} \right] - I_{eo} \quad (26)$$

以上の諸式により段丘背面が途中で切れざる場合に(2)式も[2-1]の場合と同様に此後の年が解ると、(2)式により(2)式の係数a, b, cが解けた後の段丘の形状が求められ(2)式によりI_{ef}が解けた後の段丘部流砂量q_{ef}が(6)式から解ける。

3 堆砂の算定方法及び計算値と実験値との比較

以上の考察をもとに、堆砂過程中に於ける船砂量が2~3倍に増加した場合について、断面の運動及び堆砂形状の算定を行なうと、つまり下流の場合も船砂量q_{so}が2~3倍に増加する直前の段丘堆砂量及び形状を初期形状として取扱うことにより時刻t=0とする。

(i) 初期形状によりt=0におけるq_{so}, z₀, L₀はknownである。(ii) 最初のt=0は(2)式よりq_{ef}として時刻の最初の値を用いることとこれらはknownであるから(2)式により肩の位置が解ける。

(iii) 最初の北側の運動方向角 θ は 80° で、 q_{d} , q_s , L 及び (β_2) はそれぞれ時刻 t と最初の値を用い q_0 とし L は $2\sim3$ 倍に増加し $L=900$ を用いることとするヒューリスティックにより θ が解けた。北側の段丘の厚さ h が h_{max} となる。(iv) 北側の斜面が解けたとき(9式又は10式)、段丘が途中で切れてしまう場合(11式)により、それが北側の段丘の高さ h 及び段丘の形状が求められる。(v) 後、2(9式又は10式)により北側段丘の段丘肩とのエネルギー分配 I_{eff} が算出され(11式により北側段丘の段丘量 q_{d})が知られる。(vi) 北側の段丘肩の厚さ h 及び段丘量 q_{d} が解かたから(9式又は10式)により北側の段丘肩の軌跡が得られ(11式により段丘が上流に伸ばす距離を得られる)。Q以下以上の計算を繰返し行なえばよく段丘が途中で切れてしまう場合には[2-3]は数10秒を求めるのが加わることになる。(图-6)(图-7)は計算値と実験値とを比較したもので、(图-6)は段丘が上流に及ぶ場合、(图-7)は段丘が途中で切れてしまう場合を表したものである。計算の結果実験値とかなりよく一致しておりこの計算方法が妥当であることを示しておこうと思える。

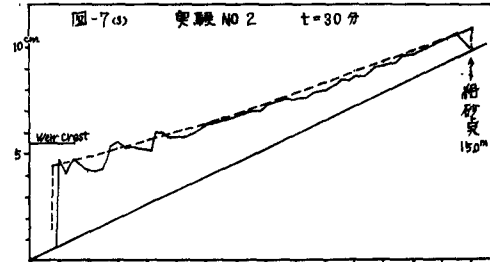
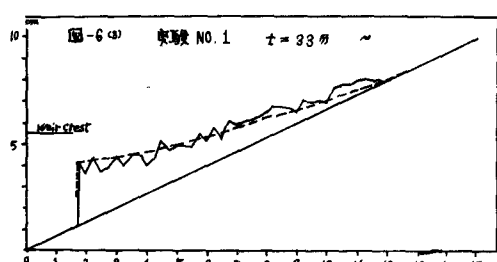
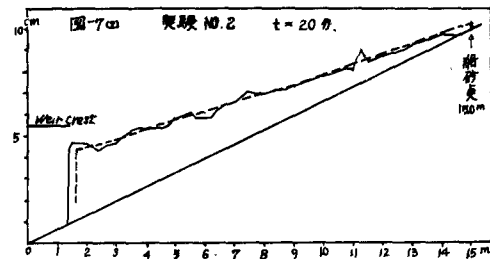
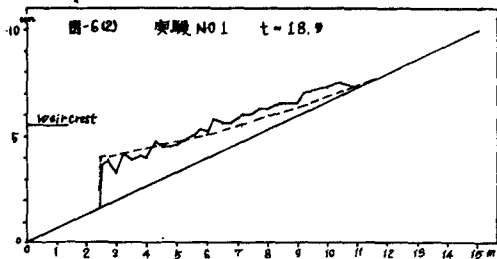
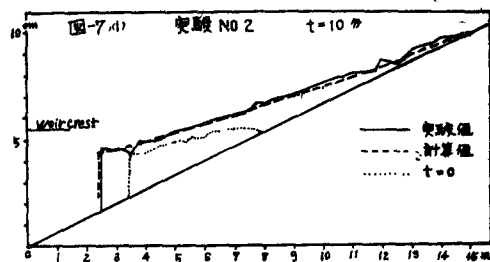
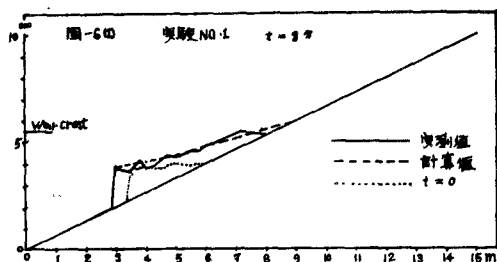


図-6. 計算値と実験値との比較(実験 No.1)

図-7. 計算値と実験値との比較(実験 No.2)